

B-555

ОБЪЕДИНЕННЫЙ
ИНСТИТУТ
ЯДЕРНЫХ
ИССЛЕДОВАНИЙ

ДУБНА



5064/2-77

19/12-77

P13 - 10939

А.В.Вишневский, И.А.Голутвин, А.В.Зарубин,
Ю.Т.Кирюшин, Н.А.Кузьмин, Д.А.Смолин,
Ю.А.Яцуненко

ХАРАКТЕРИСТИКИ ПРОПОРЦИОНАЛЬНОЙ КАМЕРЫ
РАЗМЕРАМИ (3 x 1,5) м²
В УСЛОВИЯХ БОЛЬШИХ ЗАГРУЗОК

1977

P13 - 10939

А.В.Вишневский, И.А.Голутвин, А.В.Зарубин,
Ю.Т.Кирюшин, Н.А.Кузьмин, Д.А.Смолин,
Ю.А.Яцуненко

ХАРАКТЕРИСТИКИ ПРОПОРЦИОНАЛЬНОЙ КАМЕРЫ
РАЗМЕРАМИ (3 x 1,5) м²
В УСЛОВИЯХ БОЛЬШИХ ЗАГРУЗОК

Направлено в ПТЭ

Вишневский А.В. и др.

P13 - 10939

Характеристики пропорциональной камеры размерами
(3 x 1,5) м² в условиях больших загрузок

Описаны метод и результаты исследований пропорциональной камеры размерами (3 x 1,5) м² в условиях фоновых загрузок до $3,4 \cdot 10^5$ частиц/канал·с при малом "мертвом" времени регистрирующей электроники (дающем вклад в неэффективность $\leq 0,5\%$) и газовом усилении $\sim 1,5 \cdot 10^{-11}$ кулон/частицу.

Показано, что неэффективность регистрации определяется мертвым временем пропорциональной камеры, которое составляет ~100 нс.

Работа выполнена в Отделе новых методов ускорения ОИЯИ.

Препринт Объединенного института ядерных исследований. Дубна 1977

Vishnevsky A.V. et al.

P13 - 10939

Characteristics of the MWPC of (3 x 1.5) m²
due to the Background

The results of the investigations of MWPC of (3x1.5) m²
under the condition of background up to $3.4 \cdot 10^5$ particles/channel·s are presented. Inefficiency due to the
background is determined by MWPC dead time that is equal
to 100 nsec.

The investigation has been performed at the
Department of New Methods of Acceleration, JINR.

Preprint of the Joint Institute for Nuclear Research. Dubna 1977

Цель настоящей работы - определение неэффективности регистрации редких событий пропорциональной камеры в условиях большой фоновой загрузки при малом "мертвом" времени регистрирующей электроники и большом газовом усилении.

МЕТОД ИЗМЕРЕНИЯ

Исследования проведены на пропорциональной камере /3 x 1,5/ м² с шагом проволок, натянутых вдоль большой стороны камеры, - 2 мм, зазором - 7 мм, с газовой смесью аргон - 67%, изобутан - 30%, метиаль - 3%, фреон 13B1 - 0,2%. Порог регистрации - 5 мкА. Напряжение на камере - 4800 В. Измерения проведены на линии с ЭВМ НР-2116В^{/1/}.

Камера запускалась с частотой ~30 Гц от мониторной системы с радиоактивным источником ¹⁰⁶Ru, профилем пучка $\sigma = 30$ мм. Длительность стробирующего сигнала - 50 нс. Источник фона ¹⁰⁶Ru активностью 14 мКи перемещался по площади камеры. Величина фона варьировалась от 10^3 до $3,4 \cdot 10^5$ частиц/канал·с изменением количества вещества по пучку перед камерой.

Уменьшение "мертвого" времени электроники достигнуто путем применения двойной задержки в канале регистрации^{/2/}.

Высоковольтная система обеспечивала постоянство напряжения на камере независимо от величины тока.

При изменении фоновых условий определялись: величина загрузки, коэффициент газового усиления, эффек-

тивность регистрации. Во всех измерениях запуск камеры осуществляется только от источника редких событий.

ЭКСПЕРИМЕНТАЛЬНЫЕ РЕЗУЛЬТАТЫ

Верхняя гистограмма на рис. 1 демонстрирует типичный профиль пучка редких событий в отсутствие дополнительного фона.

На средней гистограмме того же рисунка показан профиль пучка редких событий в присутствии фона

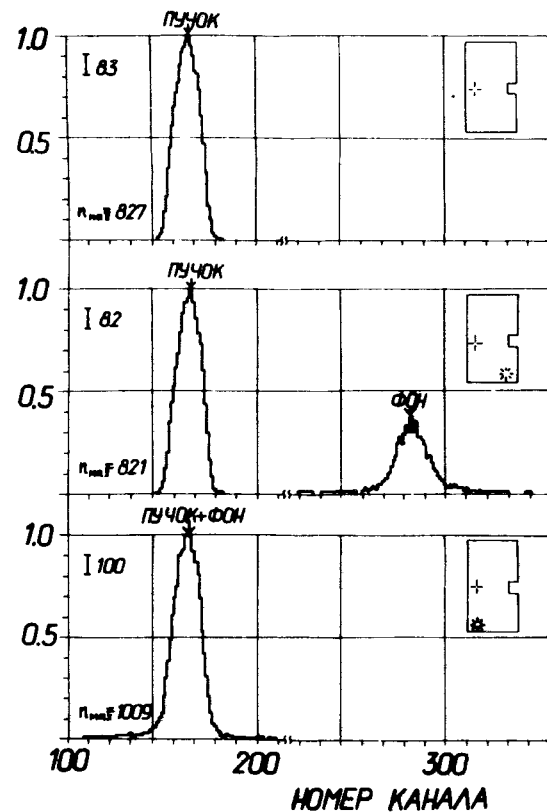


Рис. 1. Типичные профили мониторируемого пучка редких событий и фонового пучка при различном взаимном расположении пучков.

другой области камеры, так что облучаемые группы проволок не перекрываются. Видно "проявление" профиля фонового пучка за счет случайных совпадений. Форма профиля и эффективность регистрации редких событий не меняются. Эффективность составляет > 99,9%.

При расположении обоих источников над одной группой проволок на взаимном удалении ~ 1 м, профиль пучка заметно изменяется. На нижней гистограмме рис. 1 видно увеличение "крыльев" пучка. В этом случае средний коэффициент газового усиления в области облучаемых проволок уменьшается с возрастанием фоновой загрузки /рис. 2/ при неизменном пороге регистрации - 5 мкА.

A , КУЛОН/ЧАСТИЦУ

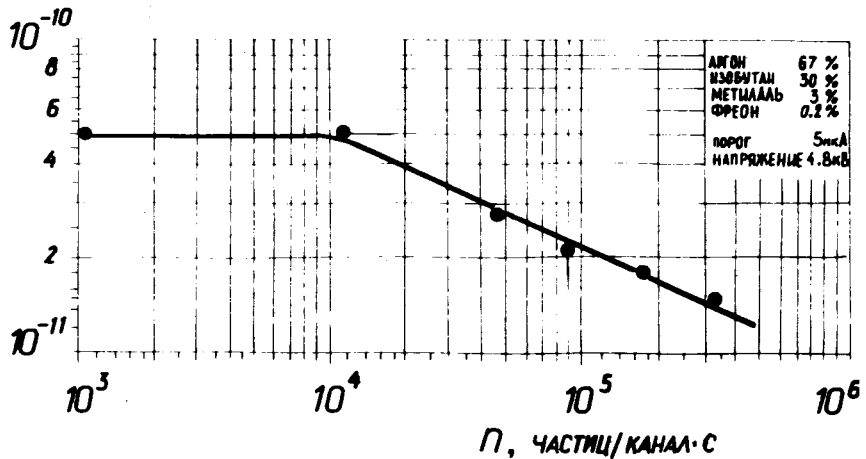


Рис. 2. Зависимость среднего коэффициента газового усиления по облучаемым проволокам от интенсивности фона.

Рис. 3 иллюстрирует неэффективность камеры в зависимости от интенсивности фона при расположении источников над одной группой проволок. Точками показана измеренная неэффективность камеры. Точность измерения составляет 0,03% при интенсивности фона

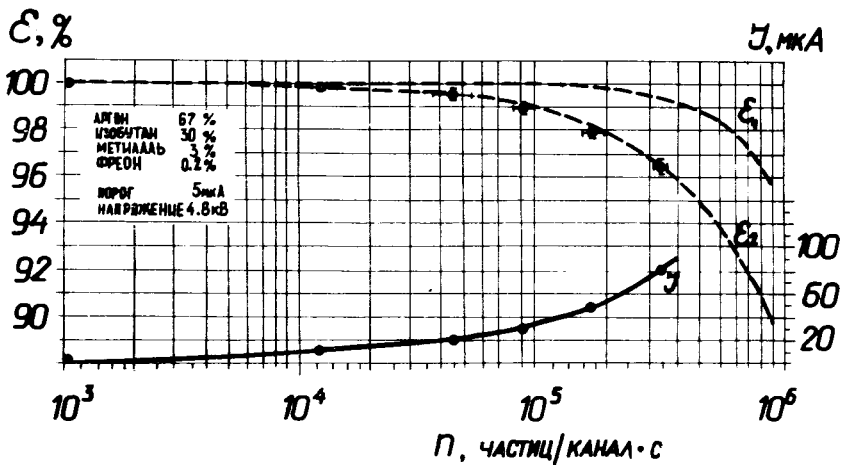


Рис. 3. Незэффективность пропорциональной камеры в условиях фона. Точками показана измеренная незэффективность камеры. Кривая J - изменение тока камеры, кривая ϵ_1 и ϵ_2 - изменение незэффективности, определяемое "мертвым" временем электроники и камеры /100 нс/ соответственно.

$\leq 10^4$ частиц/канал·с и не превышает 0,3% при интенсивности фона $3,4 \cdot 10^5$ частиц/канал·с. Кривая J - изменение тока камеры. Кривая ϵ_1 - расчетное изменение незэффективности, определяемое "мертвым" временем электроники с учетом двойной задержки сигнала с проволоки $\tau_3 = 300$ нс:

$$1 - \epsilon_1 = (\tau_3 n)^2 / 2.$$

Кривая ϵ_2 - расчетное изменение незэффективности при "мертвом" времени камеры $\tau_k = 100$ нс:

$$1 - \epsilon_2 = \tau_k n.$$

Видно хорошее соответствие экспериментальных результатов с кривой ϵ_2 .

ЗАКЛЮЧЕНИЕ

Из анализа зависимости неэффективности регистрации редких событий от фоновой загрузки до $3,4 \cdot 10^5$ частиц/канал·с при малом "мертвом" времени электроники /дающем вклад в неэффективность $\leq 0,5\%$ / и газовом усиления $\sim 1,5 \cdot 10^{-11}$ кулон/частицу можно заключить, что "мертвое" время пропорциональной камеры составляет 100 нс.

ЛИТЕРАТУРА

1. Вишневский А.В. и др. ОИЯИ, Р13-10856, Дубна, 1977.
2. Rubbia C. CERN/D. Ph. II/TM-003, II March, 1975.

Рукопись поступила в издательский отдел
26 августа 1977 года.